

مقاله علمی - پژوهشی:

تغییرات زمانی-مکانی شاخص سطح تروفیک (TRIXcs)، ریسک یوتربیوفیکاسیون و تعیین مناطق تحت تأثیر با استفاده از الگوی شوری مکانی در سواحل حوزه جنوبی دریای خزر

حسن نصرالهزاده ساروی^{*}^۱، آسیه مخلوق^۱، علی عابدینی^۲، غلامرضا دریا نبرد^۱، محمد کارددرستمی^۱

^{*}hnsaravi@gmail.com

۱- پژوهشکده اکولوژی دریای خزر، موسسه تحقیقات علوم شیلاتی کشور، سازمان تحقیقات، آموزش و ترویج
جهاد کشاورزی، مازندران، ساری

۲- پژوهشکده آبزی پروری آبهای داخلی، موسسه تحقیقات علوم شیلاتی کشور، سازمان تحقیقات، آموزش و
ترویج جهاد کشاورزی، گیلان، انزلی

تاریخ پذیرش: آذر ۱۳۹۹

تاریخ دریافت: اردیبهشت ۱۳۹۹

چکیده

استفاده از الگوهای شوری مکانی، تصویری از منطقه تحت تأثیر یوتربیوفیکاسیون و تغییرات سطح تروفیک اکوسیستم را نشان می‌دهد. هدف از این مطالعه تعیین منطقه تحت تأثیر یوتربیوفیکاسیون ناشی از آب شیرین رودخانه‌ها با استفاده از سطح تروفیک (TRIXcs)، ریسک یوتربیوفیکاسیون (UNTRIX) و منحنی پراکندگی مواد مغذی-شوری می‌باشد. همچنین داده‌های تحقیق حاضر با سال‌های پیشین مقایسه می‌گردد. این تحقیق طی سال‌های ۹۸-۱۳۹۷ در هشت ترانسکت و در عمق ۵-۳۰ متر در سواحل ایرانی حوزه جنوبی دریای خزر انجام می‌گردد. نتایج نشان داد که تغییرات میانگین فصلی TRIXcs و UNTRIX در بهترین برابر ۵/۵۹-۴/۹۴ و ۳/۵۷-۴/۱۷ بوده است که حداقل سطح تروفیک و ریسک یوتربیوفیکاسیون در فصل تابستان مشاهده گردید. همچنین ایستگاه‌های نزدیک به ساحل (عمق ۵ متر) دارای سطح تروفیک (TRIXcs) بالاتر بودند و در وضعیت ریسک یوتربیوفیکاسیون بالا (UNTRIX=۴/۳۰) قرار گرفتند. تغییرات TRIXcs و UNTRIX در بین نواحی مختلف (غربی، میانی و شرقی) معنی‌دار نبوده است ($p > 0.05$). در تحقیق حاضر نقاط دارای حداقل مقادیر آمونیم و سیلیس محلول در نزدیکی سواحل غربی در نیم خط ازولی و تحت تأثیر بزرگترین رودخانه سواحل جنوبی دریای خزر (نیم خط سفیدرود) ثبت شدند، اما نقاط دارای حداقل مقادیر NOx و فسفر معدنی در ناحیه شرقی (نیم خط‌های امیرآباد و بندرترکمن) مشاهده گردیدند. ارتباط غیرخطی به دست آمده در الگوهای شوری مکانی بین DSi، NOx، NH4 و DIP با شوری بیانگر آن است که جریان رودخانه‌ای و اختلاط ستونی آب بر تغییر غلظت مواد مغذی و سطح تروفیک در منطقه مورد مطالعه موثر بوده‌اند.

لغات کلیدی: سطح تروفیک، ریسک یوتربیوفیکاسیون، پراکندگی مواد مغذی-شوری، سواحل ایرانی، دریای خزر

نویسنده مسئول

مقدمه

فعالیت‌های انسانی معنی‌دار می‌باشد (Conley *et al.*, 1993). با این حال، افزایش تولیدات اولیه ممکن است با مصرف بیشتر سیلیس محلول همراه شود و متعاقب آن تجمع فیتوپلانکتون را از دیاتومه‌ها به شاخه داینوفلاژله‌ها تغییر دهد (EEA, 2001).

در آبهای مدیترانه جهت ارزیابی و کمی سازی فرآیند یوتրیفیکاسیون از شاخص تروفیک² TRIX استفاده گردید. با استفاده از این شاخص ساده می‌توان متغیرهای تغییر شکل پذیری کلیدی را در یک عبارت عددی ساده ترکیب نمود تا بتوان اطلاعات را در طیف گسترده‌ای از موقعیت‌های تروفیک مقایسه نمود. TRIX به خودی خود عبارتی برای توصیف وضعیت تروفیک در یک منطقه است، اگر سطح تروفیک اکوسیستم طبیعی باشد، به معنای عدم یوتربیفیکاسیون است ولی اگر تاثیرات آنتروپوزنیک افزایش یابد، به معنای وقوع یوتربیفیکاسیون است. شاخص TRIX حاصل ترکیب چهار فاکتور موثر بر یوتربیفیکاسیون است. توصیف زمانی از گستردگی TRIX امکان پایش بهتر و ارزیابی روند یوتربیفیکاسیون را فراهم می‌کند (Vollenweider *et al.*, 1998).

بنابراین، هدف از این مطالعه تعیین منطقه تحت تأثیر یوتربیفیکاسیون ناشی از آب شیرین رودخانه‌ها با استفاده از سطح تروفیک (UNTRIX)، ریسک یوتربیفیکاسیون (TRIX) و منحنی پراکندگی مواد مغذی-شوری می‌باشد. همچنین داده‌های تحقیق حاضر با سال‌های پیشین مقایسه می‌گردد.

مواد و روش کار

نمونه‌برداری طی سال‌های ۱۳۹۷-۹۸ در حوزه جنوبی دریای خزر در امتداد هشت ترانسکت³ آستارا، انزلی، سفیدرود، رامسر، توسکاتوک (نوشهر)، بابلسر، امیرآباد و بندر ترکمن (شکل ۱) انجام گرفت. جمع‌آوری نمونه‌ها به وسیله دستگاه نسکین در اعمق ۵، ۱۰ و ۳۰ متر انجام گردید. اندازه‌گیری پارامترهای مختلف (شوری، آمونیم (NH4)، نیتروژن اکسید شده (NO3+NO2)، NOx) (DIP⁴) و سیلیس محلول (DSi⁵) بر اساس APHA, 2005 روش‌های استاندارد صورت گرفت.

یوتربیفیکاسیون به افزایش میزان مواد آلی به یک اکوسیستم اشاره دارد و بیشتر مربوط به غنی سازی مواد مغذی است که باعث افزایش تولیدات اولیه در اکوسیستم می‌شود. سطح یوتربیفیکاسیون به دلایل طبیعی از منطقه‌ای به منطقه دیگر متفاوت است. عموماً در مناطق ساحلی دریا افزایش مواد مغذی از ورودی رودخانه‌ها ناشی می‌گردد. در این مناطق، وضعیت یوتربیفیکاسیون از سویی، به میزان بارگذاری¹ مواد مغذی و از سوی دیگر، فرآیند اختلاط در سطون آبی بستگی دارد. اثرات متفاوتی از بارگذاری یکسان مواد مغذی در مناطق مختلف صورت می‌گیرد. بررسی در مناطق ساحلی دریای مدیترانه‌ای و بالتیک نشان داد که به دلیل ورود آبهای غنی از مواد مغذی، تولیدات اولیه بالاتر از مناطق باز این دریاها بوده است (Nixon *et al.*, 1995). وضعیت تروفیک در سواحل با شبکه کم نیز بالاتر از منطقه باز آن برآورد گردید. رقیق شدن تدریجی مواد مغذی در دریا به واسطه ورود آب رودخانه‌ای را می‌توان با منحنی‌های غلظت مواد مغذی در مقابل شوری نشان داد به طوری که روابط مواد مغذی و شوری نشان‌دهنده غلظت مواد مغذی و اختلاط آب رودخانه‌ای غنی از مواد مغذی با آب دریای دارای مواد مغذی کم است (Neilson and Cronin, 1981) و همکاران (۲۰۱۴) گزارش کردند که غلظت مواد مغذی در آبهای ساحلی، تغییرات فصلی را نشان می‌دهد و غلظت از آبهای ساحلی به آبهای دور از ساحل به میزان قابل توجهی کاهش می‌یابد. همچنین بیان نمودند که در زمان‌های مختلف رابطه بین مواد مغذی و شوری از خطی (غلظت مواد مغذی در ناحیه ساحلی تغییرات کمی دارد) به غیرخطی (غلظت مواد مغذی به خصوص فسفر در نوار ساحلی تهشین می‌شود)، تغییر می‌کند (Neilson and Cronin, 1981).

مواد مغذی اصلی ایجاد کننده یوتربیفیکاسیون شامل نیتروژن به فرم‌های نیترات، نیتریت یا آمونیم و فسفر به فرم ارتوفسفات هستند. علاوه بر این، فسفر و نیتروژن آلی قابل دسترس نیز در ایجاد یوتربیفیکاسیون نقش دارند. سیلیس محلول برای رشد دیاتومه‌ها ضروری است، اما فرض بر این است که ورودی سیلیس محلول تحت تأثیر

² TRIX=Trophic Index

³ Transect

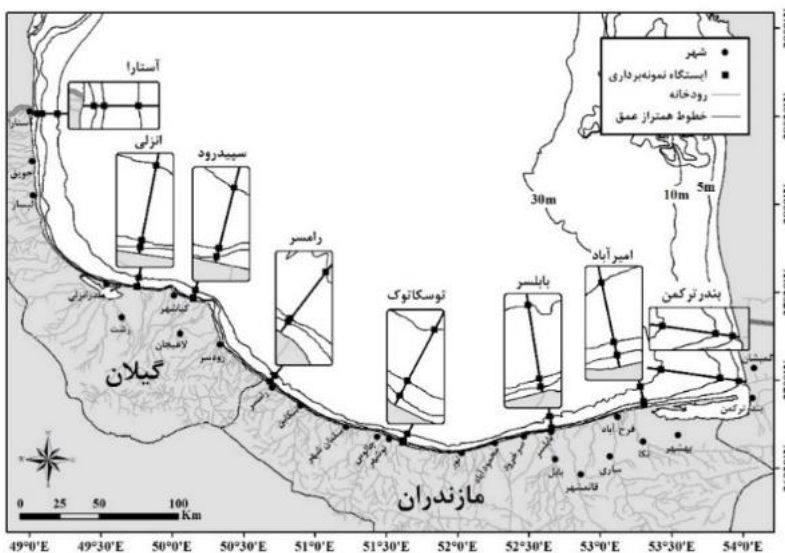
⁴ DIP=Dissolved Phosphorous

⁵ DSi=Dissolved Silicon

¹ Loading

میکرومول بر لیتر) نشان داده شد (NH_4^+) و $\text{DIP}(\mu\text{M}) = \text{DIP}(\mu\text{g/l})/31$ ($\mu\text{M} = \text{NH}_4^+(\mu\text{g/l})/14$ و $\text{DSi}(\mu\text{M}) = \text{DSi}(\mu\text{g/l})/28$ (شکل ۱).

(Sapozhnikov *et al.*, 1988; آب‌های دریابی با میکرومولار (غلظت میکروگرم بر لیتر مواد مغذی تقسیم بر جرم اتمی هر عنصر=میکرومولار يا



شکل ۱. ایستگاه‌های نمونه‌برداری به همراه نیم خط‌ها و اعمق مختلف در نوار ساحلی حوزه جنوبی دریای خزر (۱۳۹۷-۹۸)

Figure 1: Sampling stations with transects and different depths in the coastal of the southern Caspian Sea (2018-2019)

بررسی شاخص تروفیک غیرمقیاسی (UNTRIX) به صورت $4 < \text{UNTRIX} < 6$ بیانگر عدم ریسک یوتوفیکاسیون، $4 \leq \text{UNTRIX} \leq 6$ نشان‌دهنده ریسک یوتوفیکاسیون بالا و $6 > \text{UNTRIX}$ بیانگر اکوسیستم یوتوف طبقه‌بندی گردید (MEF, 2007).

آزمون پارامتریک (ANOVA) و در صورت لزوم آزمون تکمیلی Duncan، رگرسیون خطی و غیرخطی (Regression)، رگرسیون گام به گام برای داده‌های نرمال شده (انتقال یافته داده از طریق لگاریتم/رتبه بندی) انجام گردید.

نتایج

در منطقه مورد مطالعه، مقادیر میانگین شوری، UNTRIXcs، DSi، DIP، NOx، NH4 و TRIX_{CS} به ترتیب $10/81 \pm 0/65$ گرم بر لیتر، $2/19 \pm 1/19$ ، $2/22 \pm 0/17$ ، $0/22 \pm 0/11$ و $5/32 \pm 0/70$ بودند (جدول ۱). براساس

معادله شاخص تروفیک مقیاسی (TRIX) (*Vollenweider et al.*, 1998) به شرح ذیل می‌باشد:

(رابطه ۱):

$$\text{TRIX} = [\log(\text{Chl-a} * \text{aD%O} * \text{DIN} * \text{TP}) - k] / m$$

در این رابطه اجزاء تشکیل دهنده آن عبارتند از: پارامترهایی که نشان‌دهنده تولیدات در اکوسیستم آبی هستند شامل کلروفیل-آ (Chl-a mg/m^3) و انحراف از درصد اشباعیت ($\text{aD%O} = [100 - \text{DO}\%]$) و پارامترهای مواد مغذی که شامل نیتروژن معدنی ($\text{DIN, } \mu\text{g/l}$) و فسفر کل ($\text{TP, } \mu\text{g/l}$) می‌باشند. پارامترهای مقیاسی k و m برای حوزه جنوبی دریای خزر به ترتیب برابر $-1/0^3$ و $Nasrollahzadeh (0/93)$ محاسبه گردیدند (TRIX_{CS}). در کلاسه‌بندی شاخص تروفیک مقیاسی (*et al.*, 2008) در $2 < \text{TRIX} < 4$ بیانگر سیستم الیگوتروف، $4 \leq \text{TRIX} \leq 5$ نشان‌دهنده سیستم مژوتروف، $5 \leq \text{TRIX} < 6$ نشان‌دهنده سیستم مژو-یوتوف و $6 \leq \text{TRIX} < 8$ بیانگر اکوسیستم یوتوف می‌باشد (*Vollenweider et al.*, 1998).

شوری، NOx، DSi اختلاف معنی‌دار نشان داد ($p < 0.05$) به طوری که در آزمون دانکن مقادیر شوری در عمق ۵ متر در یک گروه و اعمق ۱۰ و ۳۰ متر در گروه دیگر تفکیک شدند.

آزمون آماری ANOVA میانگین تمام پارامترهای مذکور (به جز NH4) بین فضول، مختلف اختلاف معنی‌داری نشان داد ($p < 0.05$ ، اما بین نواحی مختلف فقط پارامترهای NH4 و DIP اختلاف معنی‌دار نشان دادند ($p < 0.05$). همچنین بین اعماق مختلف فقط میانگین

جدول ۱: حداقل و حداکثر پارامترها در فضول، نیم خط‌ها، ناحیه‌ها و اعماق مختلف در لایه سطحی نوار ساحلی حوزه جنوبی دریای خزر (۱۳۹۷-۹۸)

Table 1: Minimum and maximum of parameters in different seasons, transects, regions and depths at surface layers in the coastal waters of the southern Caspian Sea (2018-2019)

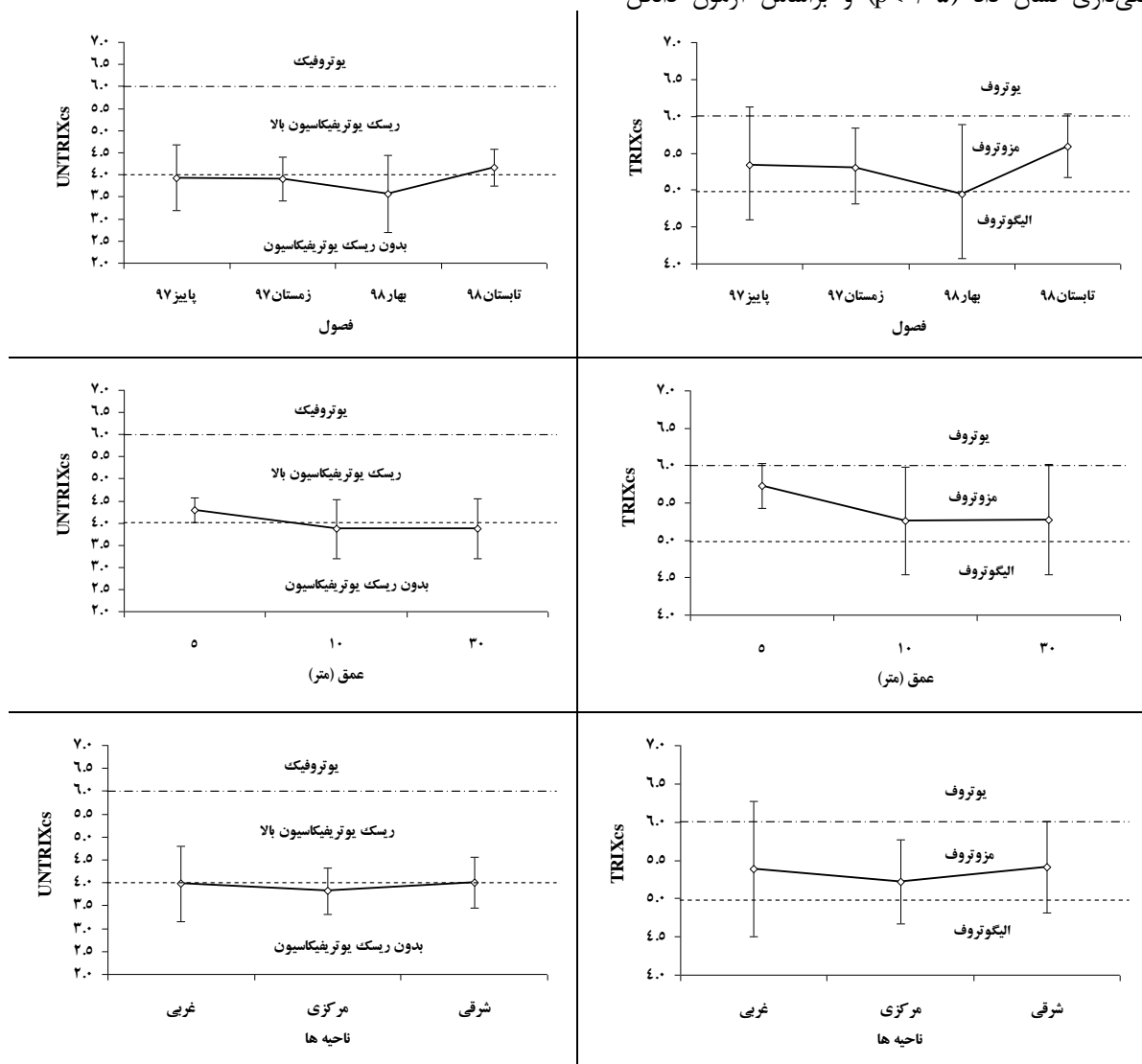
پارامترها							
UNTRIX	TRIXcs	DSi (μM)	DIP (μM)	NOx (μM)	NH4 (μM)	شوری (g/l)	
فضول							
۲/۶۹-۴/۸۸	۴/۰۰-۶/۳۵	۱۱/۷-۳۵/۵	۰/۰۴-۰/۳۴	۰/۹۳-۳/۳۱	۱/۴۱-۳/۳۰	۹/۰۰-۱۱/۷۰	۹۷ پاییز
۳/۰۰-۴/۵۴	۴/۳۴-۵/۹۹	۴/۴-۱۱/۸	۰/۰۴-۰/۲۱	۱/۵۵-۱۷/۱۰	۰/۷۳-۷/۰۴	۸/۸۰-۱۱/۱۰	۹۷ زمستان
۱/۲۸-۵/۱۲	۲/۴۸-۶/۶۱	۳/۴-۹/۷	۰/۰۵-۱/۰۳	۱/۴۱-۶/۰۷	۰/۹۷-۷/۸۷	۹/۳۰-۱۱/۱۰	۹۸ بهار
۳/۴۰-۴/۸۴	۴/۷۶-۶/۳۱	۲/۶-۷/۵	۰/۱۳-۰/۵۲	۰/۶۸-۳/۰۶	۰/۷۳-۵/۹۳	۱۱/۱۰-۱۱/۴۰	۹۸ تابستان
۳/۹۲±۰/۶۵	۵/۳۳±۰/۶۷	۷/۷±۵/۸	۰/۲۲±۰/۱۷	۲/۱۹±۱/۲۰	۲/۴۵±۱/۴۹	۱۰/۸۱±۰/۶۵	میانگین سالانه
نیم خط‌ها							
۱/۲۸-۴/۵۸	۲/۴۸-۶/۰۳	۳/۵-۱۶/۶	۰/۰۵-۰/۲۶	۰/۸۵-۳/۰۶	۱/۲۶-۷/۰۴	۱۰/۰۰-۱۱/۴۰	آسترا
۳/۴۸-۴/۸۸	۴/۸۵-۶/۳۵	۳/۹-۳۲/۱	۰/۰۹-۰/۵۲	۱/۱۵-۶/۰۱	۱/۵۸-۷/۸۷	۹/۴۰-۱۱/۴۰	انزلی
۳/۴۰-۴/۷۱	۴/۷۶-۶/۱۷	۴/۵-۳۴/۵	۰/۰۹-۰/۲۸	۰/۶۸-۶/۰۷	۱/۸۵-۴/۰۷	۸/۸۰-۱۱/۴۰	سفیدرود
۳/۳۵-۴/۳۷	۴/۷۱-۵/۸۱	۲/۹-۱۸/۷	۰/۰۴-۰/۲۶	۱/۱۵-۲/۳۸	۰/۷۳-۵/۹۳	۱۰/۳۰-۱۱/۴۰	رامسر
۳/۰۰-۴/۶۵	۴/۳۳-۶/۱۱	۲/۹-۱۲/۴	۰/۰۴-۰/۲۸	۱/۴۲-۴/۱۰	۰/۷۸-۴/۷۴	۱۰/۴۰-۱۱/۴۰	نوشهر
۲/۶۹-۴/۳۴	۴/۰۰-۵/۷۸	۵/۸-۱۸/۰	۰/۰۵-۰/۲۶	۰/۹۸-۲/۴۲	۰/۷۳-۲/۰۹	۱۰/۳۰-۱۱/۳۰	بابلسر
۳/۵۴-۴/۵۴	۴/۹۱-۵/۹۹	۴/۶-۱۱/۷	۰/۱۵-۰/۷۱	۱/۰۵-۱۷/۱۰	۰/۸۰-۲/۵۵	۱۰/۷۰-۱۱/۴۰	امیرآباد
۳/۰۰-۵/۱۲	۴/۳۴-۶/۶۱	۴/۸-۱۴/۱	۰/۰۴-۱/۰۳	۰/۹۳-۴/۳۴	۱/۰۲-۳/۰۹	۹/۳۰-۱۱/۷۰	بندرترکمن
ناحیه‌ها							
۱/۲۸-۴/۸۸	۲/۴۸-۶/۳۵	۳/۵-۳۴/۵	۰/۰۵-۰/۵۲	۰/۶۸-۶/۰۷	۱/۲۶-۷/۸۷	۸/۸۰-۱۱/۴۰	غربی
۲/۶۹-۴/۶۵	۴/۰۰-۶/۱۱	۲/۶-۱۸/۷	۰/۰۴-۰/۳۶	۰/۹۸-۴/۱۰	۰/۷۳-۵/۹۶	۱۰/۳۰-۱۱/۴۰	مرکزی
۳/۰۰-۵/۱۲	۴/۳۴-۶/۶۱	۴/۶-۱۴/۱	۰/۰۴-۱/۰۳	۰/۹۳-۱۷/۱۰	۰/۸۰-۳/۰۹	۹/۳۰-۱۱/۷۰	شرقی
اعماق							
۳/۹۸-۴/۷۰	۵/۳۹-۶/۱۶	۳/۲-۷/۵	۰/۱۳-۰/۳۴	۰/۸۵-۲/۱۲	۰/۸۰-۴/۴۲	۱۱/۱۰-۱۱/۴۰	۵ متر
۲/۳۳-۵/۱۲	۳/۶۱-۶/۶۱	۲/۶-۳۴/۵	۰/۰۴-۰/۵۴	۰/۶۸-۶/۰۷	۰/۷۳-۷/۸۷	۹/۰۰-۱۱/۷۰	۱۰ متر
۱/۲۸-۴/۸۰	۲/۴۸-۶/۲۷	۳/۴-۹/۷	۰/۰۴-۱/۰۳	۱/۰۸-۱۷/۱۰	۰/۷۳-۷/۰۴	۸/۸۰-۱۱/۴۰	۳۰ متر

(سال‌های ۱۳۹۷-۹۸) در شکل ۲ نشان داده شده است. نتایج نشان داد که میانگین سطح تروفیک UNTRIX و TRIXcs

تغییرات سطح تروفیک UNTRIX و TRIXcs فضول، ناحیه‌ها و اعماق مختلف در ساحلی حوزه جنوبی دریای خزر

میانگین سطح تروفیک UNTRIX و TRIXcs به دو گروه تابستان و سایر فصول تفکیک گردیدند.

به ترتیب برابر $3/92 \pm 0/65$ و $5/33 \pm 0/67$ ثبت گردید. براساس آزمون واریانس یکطرفه میانگین سطح تروفیک UNTRIX و TRIXcs فقط بین فصول مختلف اختلاف معنی‌داری نشان داد ($p < 0/05$) و براساس آزمون دانکن



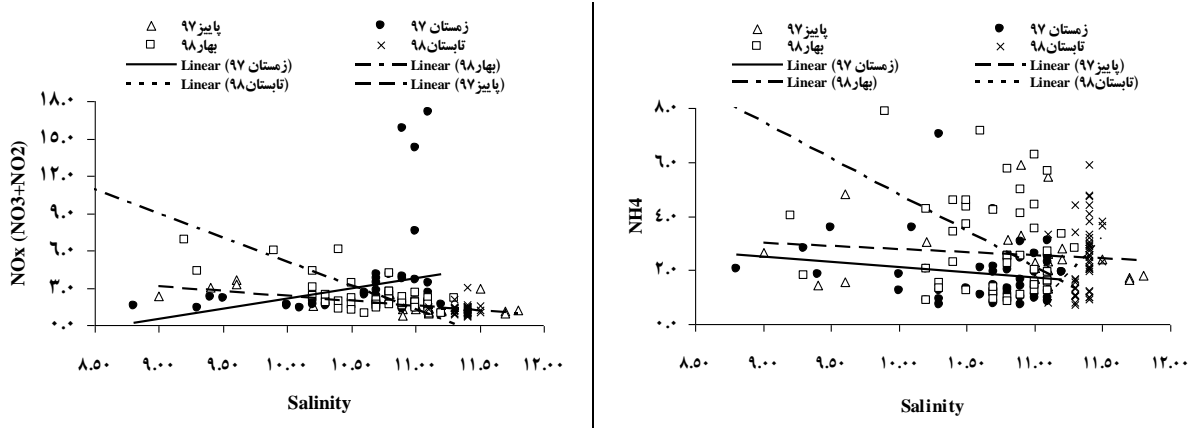
شکل ۲: تغییرات زمانی-مکانی سطح تروفیک UNTRIX و TRIXcs در سواحل ایرانی حوزه جنوبی دریای خزر (۱۳۹۷-۹۸)
Figure 2: Spatial-temporal changes of TRIXcs and UNTRIX in the coastal waters of the southern Caspian Sea (2018-2019)

می‌باشد. همچنین شبیه خط روند NOx در مقابل شوری کاهشی (به جز در فصل زمستان) گردید (شکل ۳). در این تحقیق دامنه غلظتی DIP $0/04 - 1/03$ میکرومولار-NH4- بوده است. پراکندگی رابطه DIP-شوری همانند-NH4- شوری نسبت به پراکندگی NOx-شوری قابل ملاحظه

در سواحل ایرانی حوزه جنوبی دریای خزر شوری در دامنه $8/8 - 11/7$ گرم بر لیتر است. در این تحقیق غلظت NH4 و NOx به ترتیب با دامنه تغییرات غلظتی $7/87 - 0/73$ و $17/1 - 68/0$ میکرومولار بوده است. شبیه خط روند NH4 در مقابل شوری کاهشی (به خصوص در فصل بهار)

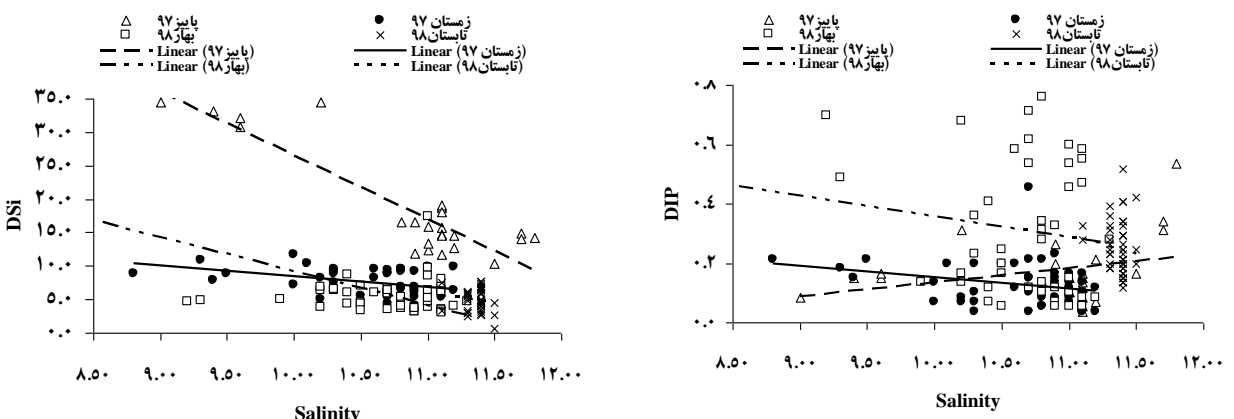
غلظتی DSi در محدوده ۲/۶-۳/۴/۵ میکرومولار بوده است و حداکثر غلظت DSi در نزدیکی سواحل غربی در نیم خط سفیدرود ثبت شد. همچنین شیب خط DSi-شوری در فضول مختلف کاهشی بوده است.

می باشد (شکل ۴). شیب خط این نمودار در فضول مختلف متفاوت است به طوری که شیب خط در تمام فضول (به جز فصل پاییز) کاهشی بوده است که این نشان می دهد که آب شیرین در سه فصل زمستان، بهار و تابستان دارای بالاترین غلظت DIP بوده است. در تحقیق حاضر تغییرات



شکل ۳: پراکندگی غلظت فصلی آمونیم (میکرومولار) و نیترات+نیتریت (میکرومولار) در مقابل شوری در آبهای ساحلی حوزه جنوبی دریای خزر (۱۳۹۷-۹۸)

Figure 3: Seasonal scatter plot of NH₄ (μM) and NO_x (μM) versus salinity in the coastal waters of the southern Caspian Sea (2018-2019)



شکل ۴: پراکندگی غلظت فصلی فسفات (میکرومولار) و سیلیس محلول (میکرومولار) در مقابل شوری در آبهای ساحلی حوزه جنوبی دریای خزر (۱۳۹۷-۹۸)

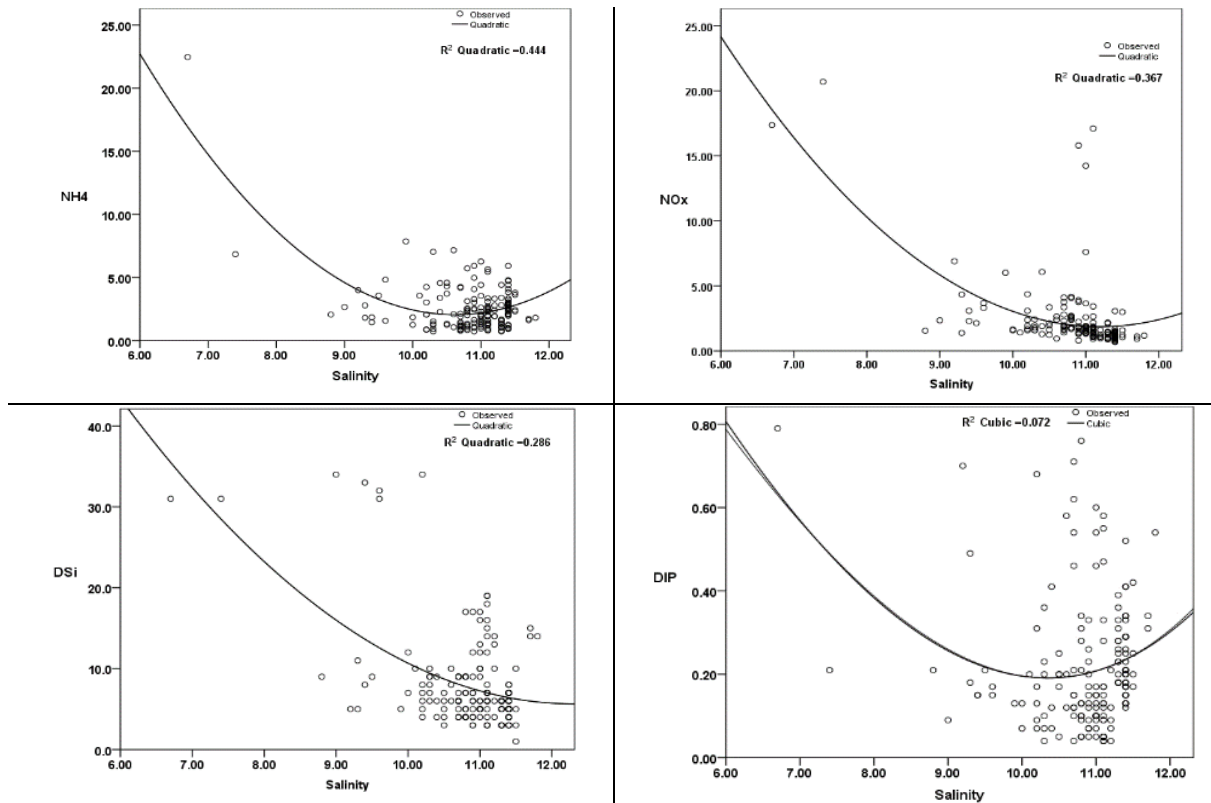
Figure 4: Seasonal scatter plot of DIP (μM) and DSi (μM) versus salinity in the coastal waters of the southern Caspian Sea (2018-2019)

رابطه خطی نیست و دارای عملکرد هایپربولیک (تابع درجه دوم و سوم) می باشد (شکل ۵).

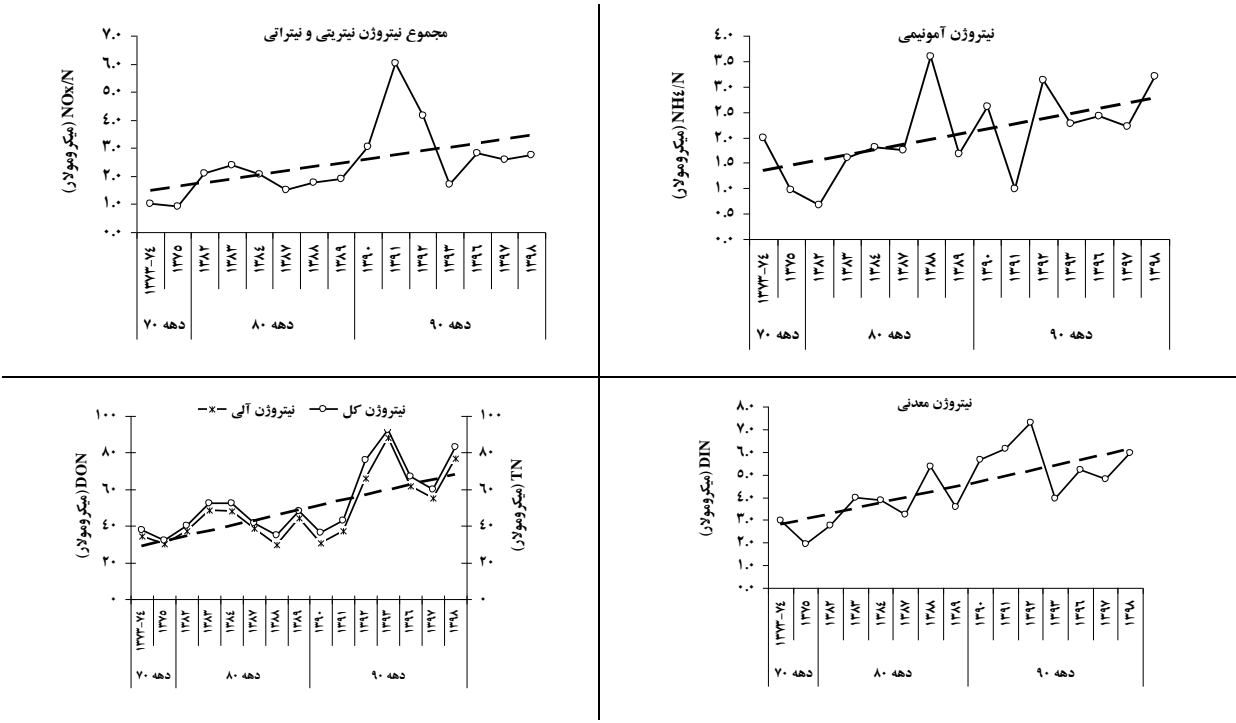
پویایی و دینامیک NO_x, NH₄, DIP و DSi در مقابل شوری متفاوت است به طوری که بین مواد معدنی و شوری،

گردید. شکل‌های ۶ و ۷ نشان داد که فرم‌های مختلف نیتروژن برخلاف فسفر و سیلیس محلول روند افزایشی داشته است.

در این مطالعه بررسی تغییرات مواد مغذی در سواحل جنوبی دریای خزر روند طولانی مدت تغییرات مواد مغذی در دریای خزر به همراه تحقیق حاضر (۱۳۹۷-۹۸) بررسی

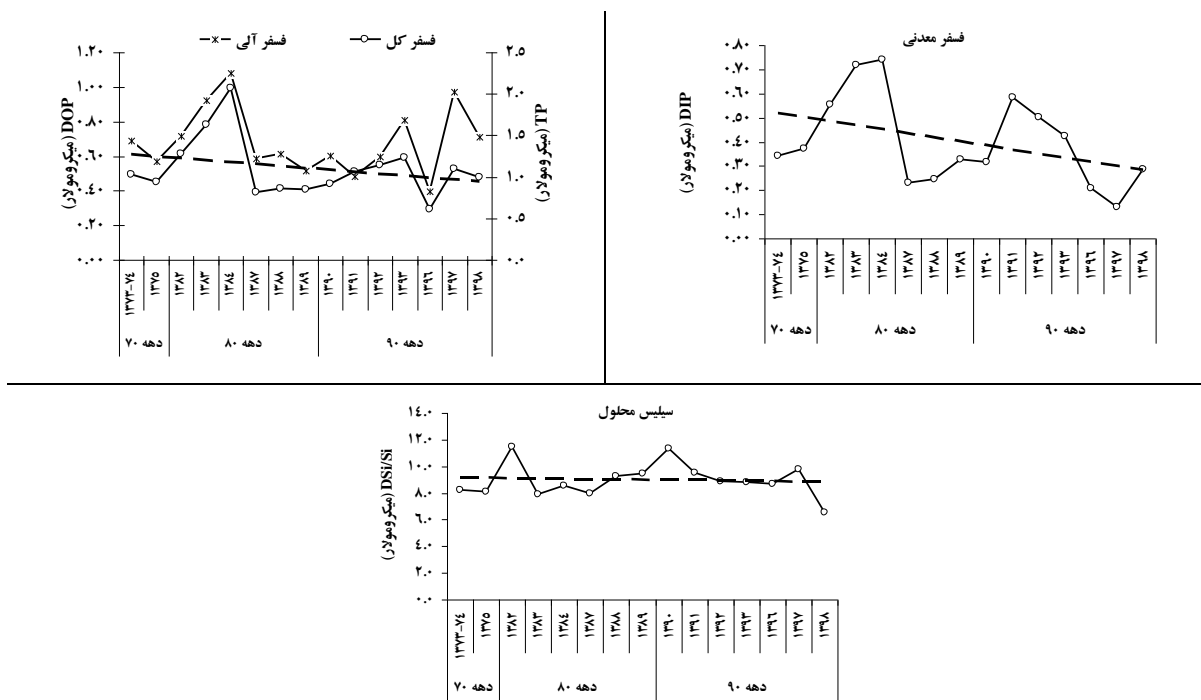


شکل ۵: پراکندگی سالانه غلظت NH_4 , NO_x , DIP و DSi در مقابل شوری در آبهای ساحلی حوزه جنوبی دریای خزر (۱۳۹۷-۹۸)
Figure 5: Annual scatter plot of NH_4 , NO_x , DIP and DSi versus salinity in the coastal waters of the southern Caspian Sea (2018-2019)



شکل ۶: تغییرات سالانه دراز مدت (۱۳۷۳-۹۸) غلظت فرم‌های مختلف نیتروژن در لایه سطحی حوزه جنوبی دریای خزر

Figure 6: Long term changes (1994-2019) different forms of nitrogen in the surface coastal waters of the southern Caspian Sea (2018-2019)



شکل ۷: تغییرات سالانه دراز مدت (۱۳۷۳-۹۸) غلظت فرم‌های مختلف فسفر و سیلیس محلول در لایه سطحی حوزه جنوبی دریای خزر

Figure 7: Long term changes (1994-2019) different forms of phosphorous and silicon in the surface coastal waters of the southern Caspian Sea (2018-2019)

بحث

در دریای شمال به طور معمول پساب مناطق شهری منابع اصلی DIP بودند. این امر سبب شد که پراکنده‌گی داده‌ها در نمودار DIP-شوری به طور قابل توجهی بیش از نمودار NOx-شوری گردد (Andersson and Rydberg, 1988). در نوار ساحلی حوزه جنوبی دریای خزر دامنه غلظتی DIP $10^3 / 10^4 \text{ میکرومولار}$ بوده است و پراکنده‌گی نقاط در رابطه DIP-شوری در مقایسه با NOx-شوری قابل ملاحظه می‌باشد که با یافته مذکور مطابقت دارد. در مطالعه حاضر، شیب خط نمودار DIP-شوری در فصول مختلف متفاوت بوده به‌طوری‌که شیب خط در تمام فصول (به‌جز فصل پاییز) کاهشی بوده که نشان می‌دهد، آب شیرین در سه فصل زمستان، بهار و تابستان دارای بالاترین غلظت فسفات بوده است. شایان ذکر است، در اواخر زمستان ۹۷ و اوایل بهار ۹۸ سیل شدید (ورود پساب‌های شهری) در رودخانه‌های منتهی به حوزه جنوبی دریای خزر (به‌خصوص در ناحیه شرقی) اتفاق افتاد که اثرات افزایش غلظت DIP (نیم خط بندرترکمن) حتی در فصل تابستان با کاهش دبی رودخانه، مشهود و بارز بوده است.

مطالعه در دریای بالتیک (Belt Sea and Kattegat) نشان داد که شیب نمودار DIP-شوری بسیار کم بود. این امر بیانگر عدم ورود منابع محلی/ناحیه‌ای خاص از DIP به رودخانه‌های منتهی به دریا می‌باشد و ورودی آب شیرین نروژ تأثیر ناچیزی در وضعیت یوترویفیکاسیون دارد. اما در دریای بالتیک (خليج بوتانیا) کاهش DIP تحت فرآیند متفاوتی صورت گرفت. در این اکوسیستم که دارای مقدار مناسب اکسیژن بوده است، غلظت کم DIP در آبهای سطحی به این دلیل است که واکنش DIP با ترکیبات آهن به رسوبات انتقال می‌یابد (Ærtebjerg *et al.*, 1998). در دریای خزر نیز اکسیژن کافی وجود دارد و غلظت فلزاتی همچون آهن قابل ملاحظه است (Niyazi *et al.*, 2016). تحت این شرایط به طور قابل توجهی فسفر به رسوب منتقل می‌شود که غلظت فسفر قابل دسترس در رسوبات سطحی این ناحیه از دریای خزر بیش از ۵۰۰ برابر غلظت DIP در ستون آبی می‌باشد که یافته مذکور را تایید می‌نماید. بنابراین، در این شرایط ممکن است الگویی واضح از روابط بین DIP و شوری قابل مشاهده نباشد. این وضعیت با داده‌های مطالعه حاضر نیز منطبق بود به‌طوری که رابطه معنی‌دار نه تنها در رابطه

الگوهای شوری مکانی اطلاعات ارزشمندی را در مورد غلظت مواد مغذی پس زمینه^۱، اهمیت آب شیرین به عنوان منبع ورودی مواد مغذی و در برخی موارد حتی در فرآیندهای داخلی فراهم می‌کند. این اطلاعات تصویر درستی از منطقه تحت تأثیر یوترویفیکاسیون ارائه می‌دهد (Ærtebjerg *et al.*, 1998) گزارش کردند که الگوهای غلظت NH4-شوری دریای شمال در نقاط حداکثر^۲ در دهانه رودخانه‌های سواحل کشورهای هلند و آلمان واقع می‌باشد. در تحقیق حاضر نیز در ناحیه غربی دریای خزر، وجود تالاب در نیم خط بندر انزلی و رودخانه پر آب سفید رود سبب شد که حداکثر غلظت NH4 (۴/۶ و ۷/۹ میکرومولار) در این ترانسکت‌ها ثبت گردد که با یافته‌های مذکور مطابقت دارد. در دریای شمال، پویایی و دینامیک NH4 و NOx در ارتباط با شوری یکسان نبوده است. در طول زمستان، اکسیداسیون آمونیم به نیتریت و نیترات مهمترین فرایند می‌باشد به‌طوری که ورود آمونیوم به‌وسیله آب شیرین به سواحل دریا منتهی به تجمع NH4 و NOx (طی فرآیند اکسیداسیون) در مکان‌های دور از ساحل^۳ می‌شود. زیرا فرآیند نیتریفیکاسیون سبب ماندگاری نسبتاً کوتاه آمونیم در اکوسیستم‌های دریایی می‌شود. در اعمق‌بالاتر (دور از مناطق ساحلی) نقاط دارای حداکثر مقدار NOx بیشتر از NH4 بوده‌اند. به بیان دیگر، فرآیند اکسیداسیون و نیتریفیکاسیون بیشتر صورت گرفته است (Ærtebjerg, 2001). در سواحل ایرانی حوزه جنوبی دریای خزر با شوری ۸/۸-۱۱/۷ مگرم بر لیتر روند غلظت NH4 و NOx به‌ترتیب با دامنه تغییرات غلظتی ۷/۸۷-۷/۷۳ و ۰/۷۳-۰/۶۸ میکرومولار در مقابل شوری به‌ترتیب کاهشی (به‌خصوص در فصل بهار) و کاهشی (به‌جز در فصل زمستان) بوده است با این تفاوت که با توجه به مناسب بودن اکسیژن محلول آب در این نوار ساحلی اکسیداسیون NOx و NH4 در اعمق بالاتر (با شوری بیشتر) مشهود می‌باشد به‌طوری که در منطقه مورد مطالعه حداکثر غلظت NH4 کمتر از ۸ میکرومولار و غلظت NOx کمتر از ۱۸ میکرومولار ثبت گردید که با یافته مذکور مطابقت دارد.

^۱ Back ground Concentration

^۲ Hot spot

^۳ Offshore

صرف آن در اکوسیستم، غلظت مواد مغذی را کاهش می‌دهد. با توجه به مطالب مذکور جهت بررسی تغییرات مواد مغذی در سواحل جنوبی دریای خزر روند طولانی‌مدت تغییرات مواد مغذی در دریای خزر به همراه تحقیق حاضر (۱۳۹۷-۹۸) بررسی گردید. شکل‌های ۶ و ۷ نشان داد که فرم‌های مختلف نیتروژن بر خلاف فسفر و سیلیس محلول روند افزایشی داشته‌است.

در جدول ۲، فاکتور افزایش و کاهش پارامترهای NH_4 , NO_x , فسفرمعدنی (DIP) و سیلیس محلول (DSi) آبهای سطحی حوزه جنوبی دریای خزر نشان داده شده است. طبق این جدول، روند افزایش پارامترهای نیتروژنی در این ناحیه بیش از روند کاهش DIP بوده و روند تغییرات سیلیس محلول بطيئی بوده است. همچنین در شکل‌های ۶ و ۷ ضریب خط روند برای افزایش NH_4 ($+0.068$), NO_x ($+0.016$), DIP (-0.020) است که مطالب مذکور را تایید می‌کند. تجزیه و تحلیل غلظت‌های NO_x و DIP در مقایسه با داده‌های مرجع در لایه سطحی نشان داد که در دهه‌های ۱۳۸۰ و اوائل دهه ۱۳۹۰، افزایش $3\frac{1}{8}-6\frac{3}{4}$ برابر در غلظت NO_x و افزایش $1\frac{1}{2}-1\frac{1}{4}$ برابر در DIP صورت گرفته است (جدول ۲). اما در تحقیق حاضر تقریباً $5/0$ برابر افزایش در غلظت NO_x و $0/67$ برابر کاهش در غلظت DIP نسبت به داده‌های مرجع ثبت گردید. همچنین روند DSi در کل این حوزه در دهه‌های مختلف نسبت به سال‌های مرجع تقریباً ثابت بوده است.

خطی بین DIP و شوری بلکه در رابطه هایپربولیک آنها نیز مشاهده نشد.

در دریای شمال رابطه بین غلظت DSi و شوری دقیقاً مشابه الگوی رابطه غلظت NO_x و شوری بود بهطوری که در مناطق ساحلی که رودخانه وجود دارد (سواحل انگلستان، دانمارک و آلمان) افزایش قابل ملاحظه‌ای از DSi مشاهده می‌گردد (Andersson and Rydberg, 1988). در تحقیق حاضر، تغییرات غلظتی DSi برابر $2/6-3\frac{4}{5}$ میکرومولار بوده است و حداقل غلظت در نزدیکی سواحل غربی تحت تأثیر بزرگترین رودخانه سواحل جنوبی دریای خزر (سفیدرود) ثبت شد. در حوزه دریای شمال با الگوی پراکنده‌ی DSi-شوری برخلاف DSi-شوری مطابقت دارد. منشأ آنتروپوژنیک ندارد و از نظر یوتربیوفیکاسیون مشکلی برای اکوسیستم‌ها ایجاد نمی‌کند.

پویایی و دینامیک NO_x , NH_4 , DIP و DSi در مقابل شوری در دریای شمال و دریای بالتیک متفاوت است بهطوری که رابطه بین مواد مغذی و شوری به جای عملکرد خطی (خط روند)، عملکردی هایپربولیک (تابع درجه دوم و سوم) می‌باشد. این امر نشان می‌دهد که احتمالاً مواد مغذی درون اکوسیستم براساس فرآیندهای رسوب‌گذاری و اکسیداسیون (نیتریفیکاسیون، دنیتریفیکاسیون) حذف می‌شوند (Andersson, 1996). در مطالعه حاضر نیز پویایی و دینامیک سالانه NH_4 , DSi و DIP در مقابل شوری متفاوت بوده است. این نوع رابطه غیرخطی بهوضوح نشان می‌دهد که حداقل دو فرآیند اختلاط و

جدول ۲: فاکتور افزایش/کاهش مواد مغذی در آبهای سطحی حوزه جنوبی دریای خزر در دهه ۹۰، اوائل دهه ۹۰ و تحقیق حاضر در

مقایسه با مقادیر سال‌های مرجع (Reference values)

Table 2: Factor of increases/decreases of nutrients in surface waters of the southern of the Caspian Sea in the 80s decade, early 90s decade and the present study in comparison with the values of the reference years

پارامتر				سال
NH_4 • $64(\mu\text{M})$	NO_x • $52(\mu\text{M})$	DIP • $33(\mu\text{M})$	DSi • $16(\mu\text{M})$	سال‌های مرجع (۱۳۷۳-۷۵) دریای خزر
فاکتور (Folds)				
+1/11	+1/42	+3/75	+2/88	۱۳۸۰ دهه
+1/16	+1/19	+6/27	+3/41	اوائل دهه ۱۳۹۰
1/00	-0/67	+5/12	+4/23	۱۳۹۷-۹۸

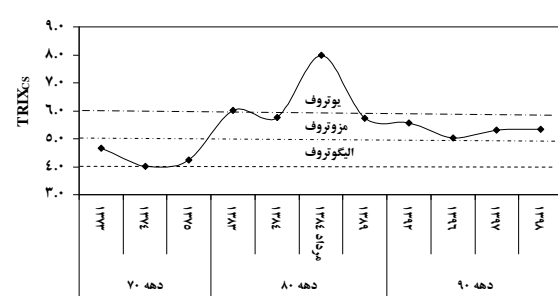
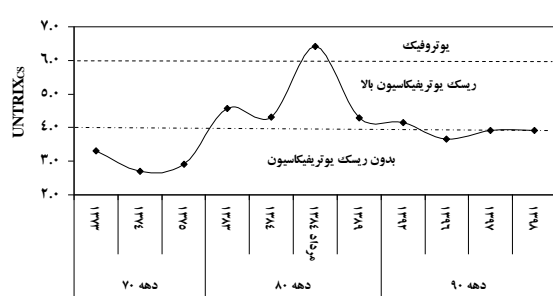
فاکتور = یعنی چند برابر (Folds) نسبت به سال‌های مرجع، علامت +: افزایش، علامت -: کاهش

انسانی قرار نمی‌گیرد. لذا، تغییرات آن در دوره‌های مختلف حوزه جنوبی دریای خزر تقریباً ثابت بوده است (شکل ۷ و جدول ۲). اما نکته قابل توجه آن است که نسبت مولی DSi/DIN طی سال‌های ۱۳۷۳-۹۸ به طور قابل توجهی کاهش یافته است (نصرالله زاده ساروی، ۱۳۹۹). مطالعه در دریای بالticik نشان داد که روند کاهشی نسبت DSi/DIN با افزایش رسوب‌گذاری ناشی از افزایش بارگذاری سیلیس بیوژنیک (به دلیل افزایش تولیدات دیاتومه‌ها) و غلظت مواد معدنی می‌باشد (Rahm *et al.*, 1996). این توضیح برای یافته مشابه در دریای خزر نیز قابل بیان می‌باشد.

رونده تغییرات سطح تروفیک و ریسک یوتوفیکاسیون نشان داد که در دهه ۷۰ وضعیت دریا الیگوتروف و بدون ریسک یوتوفیکاسیون قرار داشته است. اما در دهه ۸۰ منطقه جنوبی اکوسیستم خزر با ورود شانه‌دار حتی نزدیک به وضعیت یوتروف قرار گرفت به طوری که در سال Nasrollahzadeh Saravi (۱۳۸۴) با شکوفایی جلبکی (et al., 2014) کاملاً در حالت یوتروف قرار گرفت. اما در اوایل دهه ۹۰ اکوسیستم ترمیم یافته و به وضعیت مزوتروف و در مرز ریسک یوتوفیکاسیون بوده است (شکل ۸).

Nausch و همکاران (۱۹۹۹) با مقایسه افزایش در غلظت مواد معدنی با استفاده از فسفر مصنوعی و کودهای ازت در منطقه زهکشی دریای بالticik، زمان پاسخ دریای بالticik (افزایش مواد معدنی) در منطقه باز را نسبت به تغییر ورودی مواد معدنی به ترتیب ۵-۱۰ سال برآورد کردند. در حوزه جنوبی دریای خزر می‌توان اظهار نمود که بعد از ۱۰ سال اثر مصرف کودهای ازته سبب افزایش NOx (مقایسه دهه ۱۳۸۰ با تحقیق حاضر) شد که با یافته مذکور مطابقت داشته است. اما در خصوص اثر مصرف کودهای فسفره، در این ناحیه در دهه اول ۸۰ و دوم (اوائل دهه ۹۰) غلظت فسفر معدنی کمی افزایش داشته و در اواخر دهه ۹۰ (تحقیق حاضر) حتی کاهش هم نشان داده است. در دریاها میزان زیادی عناصر فلزی از قبیل منگنز، آلومینیم به خصوص آهن و کلسیم وجود دارد که با فسفات (DIP) بر خلاف ترکیبات نیتروژنی (محلول هستند) ترکیبات نامحلول را تشکیل می‌دهند و در رسوبات انباسته می‌شود. نصرالله زاده ساروی و همکاران (۱۳۹۵) بیان داشتند که در رسوبات سطحی دریای خزر غلظت فرمهای مختلف فسفر نسبت به ستون آب بیش از ۵۰۰ برابر می‌باشد که ادعا مذکور را اثبات می‌کند.

فرض بر این است که ورودی DSi تحت تأثیر فعالیت‌های



شکل ۸: تغییرات دراز مدت (۱۳۷۳-۹۸) سطح تروفیک TRIXcs و UNTRIXcs در سواحل ایرانی حوزه جنوبی دریای خزر (داده‌های مرداد ۱۳۸۴ برگرفته از Soloviev (2005) می‌باشد)

Figure 8: Long term changes (1994-2019) of TRIXcs and UNTRIX in the surface coastal waters of the southern Caspian Sea (2018-2019) (Data at August 2005 adopted from Soloviev)

۳۴۰ کیلومترمکعب می‌باشد. سهم رودخانه‌های ایران برابر ۵ درصد (17 km^3) می‌باشد که در مقایسه با منطقه شمالی با بیش از ۸۰ درصد ورودی ($>272 \text{ km}^3$) بسیار

شرایط سطح تروفیک در نواحی مختلف و گاهی در سواحل مختلف حوزه جنوبی دریای خزر متفاوت می‌باشد. در دریای خزر میزان ورودی آب رودخانه‌ها به دریا برابر

- Science*, 26(5): 559–579. DOI: 10.1016/0272-7714 (88)90006-6.
- Andersson, L., 1996.** Trends in nutrients and oxygen concentrations in the Skagerrak/Kattegat. *Journal of Sea Research*, 35(1-3): 63–71. DOI: 10.1016/S1385-1101 (96)90735-2.
- APHA (American Public Health Association), 2005.** Standard method for examination of water and wastewater. American public health association publisher, 18th edition, Washington, USA.1113 P.
- Conley, D.J., Schelske, C.L. and Stoermer, E.F., 1993.** Modification of the biogeochemical cycle of silica with eutrophication. *Marine Ecology Progress Series*, 101: 179–192. DOI: 10.3354/meps101179.
- CSN (Caspian Scientific Network), 2003.** Scientific Report on Caspian Sea Environment, 122P. Web://www.caspinfo.net/caspian_seafacts/climate/content.htm. [Accessed 5 January 2005].
- EEA, 2001.** Database on aggregated data for the coastline of the Mediterranean, Atlantic, North Sea, Skagerrak, Kattegat and Baltic'. EEA Technical Report No 58. ETC/MCE publisher. 76 P.
- Li, R.H., Liu, S.M., Li, Y.W., Zhang, G.L., Ren, J.L. and Zhang, J., 2014.** Nutrient dynamics in tropical rivers, lagoons, and coastal ecosystems of eastern Hainan Island, South China Sea. *Biogeosciences*, 11: 481–506. DOI: 10.5194/bg-11-481-2014.
- MEF (Ministry of Environment and Forestry), 2007.** The notification to identify the closed bay and gulf qualified sensitive where fish farms are not suitable ناچیز می‌باشد (CSN, 2003). بنابراین، تاثیر رودخانه‌های حوزه جنوبی بر تغییرات سطح تروفیک و ریسک یوتربیفیکاسیون در مقایسه با منطقه خزر شمالی کم و می‌توان بیان نمود که طولانی‌مدت می‌باشد به‌طوری‌که سطح تروفیک (TRIXcs) و ریسک یوتربیفیکاسیون (UNTRIX) بعد از یک دهه (شکل ۸) به طور معنی‌داری از وضعیت اولیگوتروف و ریسک کم یوتربیفیکاسیون به حالت مزوتروف و ریسک بالای یوتربیفیکاسیون قرار گرفته است. $(p < 0.05)$
- منابع**
- نصرالله زاده ساروی، ح..، نصرالله تبار، ع..، واحدی، ف..، مخلوق، آ. و پورنگ، ن..، ۱۳۹۵. پایش مواد غذی رسوبات در محدوده استقرار قفس‌های پرورش ماهی (قبل از ماهی‌دار کردن) واقع در حوزه جنوبی دریای خزر(سواحل مازندران-کلارآباد). مجله زیست‌شناسی دریا، ۲۱-۳۴(۸): ۳۱-۴۲.
- نصرالله زاده ساروی، ح..، ۱۳۹۹. پایش پارامترهای غیرزیستی (آب و رسوبات) در سواحل جنوبی دریای خزر تا عمق ۳۰ متر (۱۳۹۸-۹۷). موسسه تحقیقات علوم شیلاتی کشور، ۱۱۰ ص.
- Ertebjerg, G., Carstensen, J., Conley, D., Dahl, K., Hansen, J., Josefson, A., Kaas, H., Markager, S., Nielsen, T.G., Rasmussen, B., Krause-Jensen, D., Hertel, O., Skov, H. and Svendsen, L.M., 1998.** Marine områder. Åbne farvande-status over miljøtilstand, årsagssammenhænge og udvikling. Vandmiljøplanens Overvågningsprogram 1997. Danmarks Miljøundersøgelser. 248 P.
- Ertebjerg, G., 2001.** Eutrophication in Europe's coastal waters. EEA publisher, Copenhagen, 86 P.
- Andersson, L. and Rydberg, L., 1988.** Trends in nutrient and oxygen conditions within the Kattegat: Effects of local nutrient supply. *Estuarine, Coastal and Shelf Science*

- to be established in the seas. Turkish official Gazette No. 26413. (In Turkish)
- Nasrollahzadeh Saravi, H., Din, Z.B., Foong, S.Y. and Makhloogh, A., 2008.** Trophic status of the Iranian Caspian Sea based on water quality parameters and phytoplankton diversity. *Continental Shelf Research*, 28(9): 1153-1165. DOI: 10.1016/j.csr.2008.02.015.
- Nasrollahzadeh Saravi, H., Makhloogh, A., Eslami, F. and Leroy Suzanne, A.G., 2014.** Features of phytoplankton community in the southern Caspian Sea, a decade after the invasion of *Mnemiopsis leidyi*. *Iranian Journal of Fisheries Sciences*, 13(1): 145-167. DOI:10.18869/acadpub.ijfs.
- Nausch, G., Nehring, D. and Ærtebjerg, G., 1999.** Anthropogenic nutrient load of the Baltic Sea. *Limnologica*, 29(3): 233-241. DOI: 10.1016/S0075-9511(99)80007-3.
- Neilson, B.J. and Cronin, L.E., 1981.** Estuaries and Nutrients. Humana Press, Clifton, New Jersey, 641 P.
- Nixon, S.W., Granger, S.L. and Nowicki, B.L., 1995.** An assessment of the annual mass balance of carbon, nitrogen and phosphorous in Narransett Bay. *Biogeochemistry*, 31: 15-61. DOI: 10.1007/BF00000805.
- Niyazi, L., Chaichi M. J., Nasrollahzadeh Saravi, H. and Najafpour, Sh., 2016.** Quantification of individual phosphorus forms in surface sediments of the Southern Caspian Sea-Iranian Coast: A sequential extraction procedure. *Iranian Journal of Fisheries Sciences*, 15(2): 677-686. DOI: 10.18869/acadpub.ijfs.
- Rahm, L., Conley, D., Sandén, P., Wulff, F. and Stålnacke, P., 1996.** Time series analysis of nutrient inputs to the Baltic Sea and changing DSi: DIN ratios. *Marine Ecology Progress Series*, 130: 221-228. DOI: 10.3354/meps130221.
- Sapozhnikov, V.N., Agatiba, A.E., Arjanova, N.V., Nalitova, E.A., Mardosova, N.V., Zobarowij, V.L. and Bandarikov, E.A., 1988.** Methods of hydrochemical analysis of the major nutrients. VNIR publisher: Moscow, Russia.
- Soloviev, D., 2005.** Identification of the extent and causes of Cyanobacterial bloom in September–October 2005 and development of the capacity for observation and prediction of HAB in the Southern Caspian Sea using Remote Sensing Technique. http://www.caspianenvironment.org/newsitem/DocCenter/2006/HABrep_Final_Full_corrected_compressed_pictures.doc.
- Vollenweider, R.A., Giovanardi, F., Montanari, G. and Rinaldi, A., 1998.** Characterization of the trophic conditions of marine coastal waters with special reference to the NW Adriatic Sea: Proposal for a trophic scale, turbidity and generalized water quality index. *Environmetrics*, 9: 329-357. DOI: 10.1002/(SICI)1099-095X(199805/06)9:3<329::AID-ENV308>3.0.CO;2-9.

Temporal-spatial changes of the trophic index (TRIXcs), the risk of eutrophication (UNTRIX) and the determination of affected areas using a spatial salinity pattern in the southern of Caspian Sea

Nasrollahzadeh Saravi, H.^{1*}; Makhlough, A.¹; Vahedi, F.¹; Abedini, A.²; Daryanabard Gh.R.¹; Kardar Rostami, M.¹

*hnsaravi@gmail.com

1-Caspian Sea Ecology Research Center (CSERC), Iranian Fisheries Science Research Institute (IFSRI), Agricultural Research, Education and Extension Organization (AREEO), Sari, Iran

2-National Inland Water Aquaculture Center, Iranian Fisheries Science Research Institute (IFSRI), Agricultural Research, Education and Extension Organization (AREEO), Guilam, Iran

Abstract

The spatial salinity patterns which give a picture of the area affected by eutrophication and trophic status changes at the ecosystem. The aim of this study was to determine the area affected by freshwater eutrophication using trophic level (TRIXcs), the risk of eutrophication (UNTRIX) and the nutrient-salinity scatter diagram. Also, the data of the present study are compared with previous year of studies. This research was conducted during 2018 to 2019 in eight transects and at 5, 10 and 30 meter depths of Iranian coasts of southern Caspian Sea. The results showed that mean seasonal changes of TRIXcs and UNTRIXcs were 4.94-5.59 and 3.57-4.17, respectively, which the highest trophic level and risk of eutrophication was observed in summer season. In addition to, trophic level (TRIXcs) risk of eutrophication (UNTRIX=4.30) of near the coast (5m depth) were high. Mean of TRIXcs and UNTRIX between different regions (western, middle and eastern) were not significant. In the present study, the maximum amounts of ammonium and soluble silica near the west coast were recorded in Anzali transect and also under the influence of the largest river Sefidrud in the southern shores of the Caspian Sea, but the points with maximum NOx and phosphate values were observed in the east (Amirabad and Bandar-e-Turkmen transects). The nonlinear relationship between NOx, NH4, DIP and DSi with salinity indicates that river flow and water mixing were affected nutrient concentration and changes of trophic levels in the study area.

Keywords: Trophic index, Risk of eutrophication, Nutrients- Salinity, Iranian coast, Caspian Sea

*Corresponding author